

Zeitschrift:	Beiträge zur Kryptogamenflora der Schweiz = Matériaux pour la flore cryptogamique suisse = Contributi per lo studio della flora crittogama svizzera
Herausgeber:	Schweizerische Naturforschende Gesellschaft
Band:	9 (1939)
Heft:	2
Artikel:	Essai sur la systématique des Phaciaceae (Fr.) sensu Nannfeldt (1932)
Autor:	Terrier, Charles-A.
Kapitel:	Explication des planches
DOI:	https://doi.org/10.5169/seals-821073

Nutzungsbedingungen

Die ETH-Bibliothek ist die Anbieterin der digitalisierten Zeitschriften auf E-Periodica. Sie besitzt keine Urheberrechte an den Zeitschriften und ist nicht verantwortlich für deren Inhalte. Die Rechte liegen in der Regel bei den Herausgebern beziehungsweise den externen Rechteinhabern. Das Veröffentlichen von Bildern in Print- und Online-Publikationen sowie auf Social Media-Kanälen oder Webseiten ist nur mit vorheriger Genehmigung der Rechteinhaber erlaubt. [Mehr erfahren](#)

Conditions d'utilisation

L'ETH Library est le fournisseur des revues numérisées. Elle ne détient aucun droit d'auteur sur les revues et n'est pas responsable de leur contenu. En règle générale, les droits sont détenus par les éditeurs ou les détenteurs de droits externes. La reproduction d'images dans des publications imprimées ou en ligne ainsi que sur des canaux de médias sociaux ou des sites web n'est autorisée qu'avec l'accord préalable des détenteurs des droits. [En savoir plus](#)

Terms of use

The ETH Library is the provider of the digitised journals. It does not own any copyrights to the journals and is not responsible for their content. The rights usually lie with the publishers or the external rights holders. Publishing images in print and online publications, as well as on social media channels or websites, is only permitted with the prior consent of the rights holders. [Find out more](#)

Download PDF: 08.02.2026

ETH-Bibliothek Zürich, E-Periodica, <https://www.e-periodica.ch>

Explication des planches

PLANCHE 1

- Fig. 1. *Hypodermella conjuncta*. Coupe transversale de la fructification. Comparer la forme typique de l'apothécie avec celle atypique des *Phacidium*. 163 \times . (Beauly, VIII.1924, coll. Malcolm Wilson, co-type.)
- Fig. 2. *Phacidium lacerum*. Coupe transversale de la fructification montrant la structure de la strate tectrice à hyphes verticales qui forment des franges dans la cavité suprahyméniale. 163 \times . (*Pinus silvestris*, Upsala-Ultuna, 19.IV.1936 !)

PLANCHE 2

- Fig. 1. *Phacidium infestans*. 163 \times . (*Pinus silvestris*, Suède, Porjus Harsprång, 19.VII.1936 !)
- Fig. 2. *Phacidium pini-cembrae*. Noter les asques plus courts que chez le *Ph. infestans*. 163 \times . (*Pinus Cembra*, Zermatt, 30.VII.1938 !)

PLANCHE 3

- Fig. 1. *Ceuthospora phacidiooides*. Coupe transversale du stroma montrant les loges prenant naissance dans une cavité non différenciée du stroma primaire. 104 \times . (*Ilex aquifolium*, Lausanne, Parc « Mon Repos », 14.I.1939 !)
- Fig. 2. *Phaciostroma multivalve*. Coupe transversale du stroma. Celui-ci, limité par une zone noire, est fertile sur les deux faces de la feuille. 54 \times . (Libert, Pl. crypt. ard. 367.)
- Fig. 3. *Phaciostroma multivalve*. Coupe transversale du stroma, angle de la fructification. On reconnaît la structure prismatique du stroma différencié dans lequel apparaissent les asques. Il n'y a pas formation de cupule comme chez les *Hypodermatacées*. 453 \times . (Libert, Pl. crypt. ard. 367.)

PLANCHE 4

- Fig. 1. *Placuntium andromedae*. Coupe transversale du stroma. Celui-ci n'occupe pas toute l'épaisseur de la feuille, mais il est développé à la face supérieure et à la face inférieure où il n'est pas fertile. Les apothécies ne sont pas individualisées comme chez *Rhytisma acerinum*. Cf. pl. 11, fig. 4. 85 \times . (Nannfeldt, 26.3.1927.)
- Fig. 2. *Hypodermella laricis*. Asques et spores. Noter la forme caractéristique de ces dernières. 487 \times . (*Larix europaea*, Sils-Maria, XII.1934, leg. H. Schmidt, Herb. E.P.F.)

PLANCHE 5

- Fig. 1. *Coccomyces delta*. Coupe transversale. $75 \times$. (Rabenh. F. eur. 3363.)
- Fig. 2. *Coccomyces delta*. Coupe transversale de la strate tectrice montrant le mécanisme d'ouverture. $464 \times$. (Rabenh. F. eur. 3363.)
- Fig. 3. *Hypoderma rubi*. Coupe transversale de la fructification. Noter l'épaississement lenticulaire vers l'ouverture et la garniture de cellules labiales. $163 \times$. (*Rubus allegheniensis*, Miller 3345, Herb. Nannf.)
- Fig. 4. *Hypoderma scirpinum*. Coupe transversale. Pas de système d'ouverture, pas d'épaississement lenticulaire. La strate basale fait défaut, seules les cellules de l'hôte sont remplies d'une matière foncée. Pour les spores, voir pl. 8, fig. 3. $163 \times$. (Türlensee, 30.IX.1937 !)

PLANCHE 6

- Fig. 1. *Lophodermium « cladophilum »*. Coupe transversale d'une partie de l'apothécie. Noter l'irrégularité de la strate tectrice et la texture prismatique de l'angle du stroma. $375 \times$. (Rabenh. F. eur. 157.)
- Fig. 2. *Lophodermium xylomoides*. La strate tectrice vue de face. On distingue au centre le système d'ouverture. Les cellules labiales ne sont pas encore développées, mais on reconnaît la ligne où elles apparaîtront. Celle-ci, bordée de deux bandes fortement carbonisées s'arrête à quelque distance des extrémités de la strate. De chaque côté du « slit band » une zone plus claire, parallèlement aux lèvres. Les lobes des marges du stroma de structure aliforme peu visibles sur la photographie. $109 \times$. (*Crataegus monogyna*, Corse : Corte, 13.IV.1938 !)
- Fig. 3. *Sporomega degenerans*. Coupe transversale de la fructification, pas de mécanisme d'ouverture, apothécie fortement concave rappelant plutôt la couche hyméniale des « Pyrénomycètes ». Comparer la figure 38 b apud Nannfeldt. $85 \times$. (Libert, Pl. crypt. ard. 270.)
- Fig. 4. *Colpoma quercinum*. Coupe transversale de la fructification montrant nettement la cupule immergée dans le stroma. $61 \times$. (*Quercus sp.*, Suède : Sofiberg près Aaraslöv, 28.V.1936 !)

PLANCHE 7

- Fig. 1. *Hypoderma commune f. solidaginis*. Marge de la fructification montrant le mycélium aliforme. $487 \times$. (*Solidago canadensis*, Murgufer bei Etzi, 15.X.92, leg. Wiegelin. Herb. E.P.F.)
- Fig. 2. *Lophodermium alpinum*. Marge de la fructification vue de face. Pas de mycélium aliforme et pas d'hyphopodes. $416 \times$. (*Sesleria coerulea*, Muchetta 9.VIII.1937 !)
- Fig. 3. *Hypoderma vincetoxici*. Strate basale montrant — au bas de l'image, sous forme d'une plage noire — le foyer d'où divergent les hyphes formant un tissu aliforme. $441 \times$. (*Vincetoxicum officinale*, Frinvilier, 26.VI.1937 !)
- Fig. 4. *Lophodermium alpinum*. Habitus $41 \times$. (*Sesleria coerulea*, Muchetta, 9.VIII.1937 !)

PLANCHE 8

- Fig. 1. *Bifusella linearis*. Spores et asques. Remarquer le sommet tronqué des asques, les fuseaux des spores subégaux. 383 \times . (Thuemen, Mycoth. univ. 1073.)
- Fig. 2. *Duplicaria empetri*. Asques et spores. Les asques à sommet conique, les spores à fuseaux inégaux. 383 \times . (Thuemen, Mycoth. univ. 771.)
- Fig. 3. *Hypoderma scirpinum*. Asques et spores. Spores différentes du type *Hypoderma*. Comparer les spores d'*Elytroderma apud Darker* Pl. XVI, fig. 10. 453 \times . (*Scirpus lacustris*, Türlersee, 30.IX.1937 !)
- Fig. 4. *Lophodermium alpinum*. Asques et spores. Remarquer la forme clavulée des spores. L'épaisse gaine gélatineuse est peu visible sur la photo. 600 \times . (*Sesleria coerulea*, Muchetta, 9.VIII.1937 !)

PLANCHE 9

- Fig. 1. *Hypodermella macrospora*. Pas de mécanisme d'ouverture. Faible carbonisation de la strate tectrice. 163 \times . (*Picea excelsa*, Upsala, Åsen, 19.IV.1936 !)
- Fig. 2. *Lophodermium piceae*. Fructification ayant à peu près terminé l'éjaculation des spores. Pas de système d'ouverture, lèvres non renforcées. Structure de la strate tectrice différente de la figure 1. 163 \times . (*Picea excelsa*, Kåboskogen, 18.IV.1936 !)

PLANCHE 10

- Fig. 1. *Lophodermium ? piceae*. Coupe à travers une jeune fructification. La strate tectrice est déjà développée. La strate basale présente, mais non encore carbonisée. Entre les deux, réseau d'hyphes très lâche. (Courgenay, *Abies alba*.)
- Fig. 2. *Lophodermium melaleucum*. Coupe à travers une jeune fructification à un stade plus avancé que fig. 1. Les deux strates développées et carbonisées. Les futures paraphyses sont dressées et parallèles. Cette figure correspond à celle de Jones 17 a. Noter que la strate tectrice n'est pas en contact avec les paraphyses. 163 \times . (*Vacc. vitis idaea*, Upsala, 5.V.1936 !)
- Fig. 3. *Lophodermium paeoniae*. La strate tectrice ne montre pas encore de renforcement carbonisé des lèvres. 200 \times .
- Fig. 4. *Lophodermium paeoniae*. Mécanisme d'ouverture avec cellules labiales. Noter de même que sur la fig. 5, au centre et à la partie inférieure de la strate basale, le foyer d'où divergent les hyphes qui la constituent. Cf. *Hypoderma vincetoxicici* pl. 7, fig. 3. 200 \times .
- Fig. 5. *Lophodermium paeoniae*. Stade intermédiaire entre fig. 3 et 4, la strate tectrice s'est rompue, les cellules labiales ne sont pas encore formées. 163 \times . (Lundell et Nannfeldt, F. exs. suec. 384.)

PLANCHE 11

- Fig. 1. *Lophodermium herbarum*. Fructification encore fermée, le mécanisme d'ouverture bien développé, strate tectrice à carbonisation diminuant d'intensité de l'extérieur vers l'intérieur. Seule la paroi en contact avec l'hôte est foncée à la strate basale. 163 \times . (*Convallaria majalis*, Upsala, Stadskogen, 3.V.1936 !)
- Fig. 2. *Lophodermium festucae*. Coupe transversale d'une jeune fructification montrant le mécanisme d'ouverture fortement carbonisé, tandis que la strate tectrice et la strate basale le sont faiblement. A remarquer aussi la forme circulaire et non lenticulaire. Ici également seule la paroi extérieure de la strate basale est carbonisée. 163 \times . (*Festuca rubra*, Upsala—Ekeby, 12.V.1936 !)
- Fig. 3. *Lophodermium apiculatum*. Coupe transversale. Noter le fort développement de la strate tectrice et de la strate basale. La jeune apothécie est très nette à l'intérieur du stroma. 163 \times . (*Calamagrostis villosa*, Predelp/Faido, 27.V.1935 !)
- Fig. 4. *Rhytisma acerinum*. Coupe à travers une jeune apothécie et le stroma. Noter l'individualisation des apothécies par formation d'une « strate basale » intrastromatique. (Herb. Nannfeldt, 12.X.1930.)

PLANCHE 12

- Fig. 1. *Lophodermium arundinaceum*. Strate tectrice et strate basale fortement développées et fortement nigrifiées. Le mécanisme avec cellules labiales. L'apothécie est nette. 163 \times . (*Phragmites communis*, Nannfeldt, N° 1949.)
- Fig. 2. *Lophodermium melaleucum*. Noter le fort développement de la strate tectrice qui rappelle *Loph. arundinaceum*. 190 \times . (*Vacc. vitis idaea*, Nannfeldt, N° 1963.)
- Fig. 3. *Lophodermium pinastri*. La nigrification des lèvres est intense, mais diffuse. Noter le développement intraépidermique de la strate tectrice au centre de la fructification et à la valve droite, tandis qu'il est subépidermique à la valve gauche. 163 \times . (*Pinus sylvestris*, Nannfeldt, 30.V.1927.)
- Fig. 4. *Lophodermium berberidis*. Fructification ouverte. Le mécanisme d'ouverture différent des formes précédentes, nigrification des lèvres non pas concentrée à la base du mécanisme, mais réparti à peu près également sur toute la hauteur de la strate tectrice. 163 \times . (Nannfeldt, 23.V.26.)

Planche 1

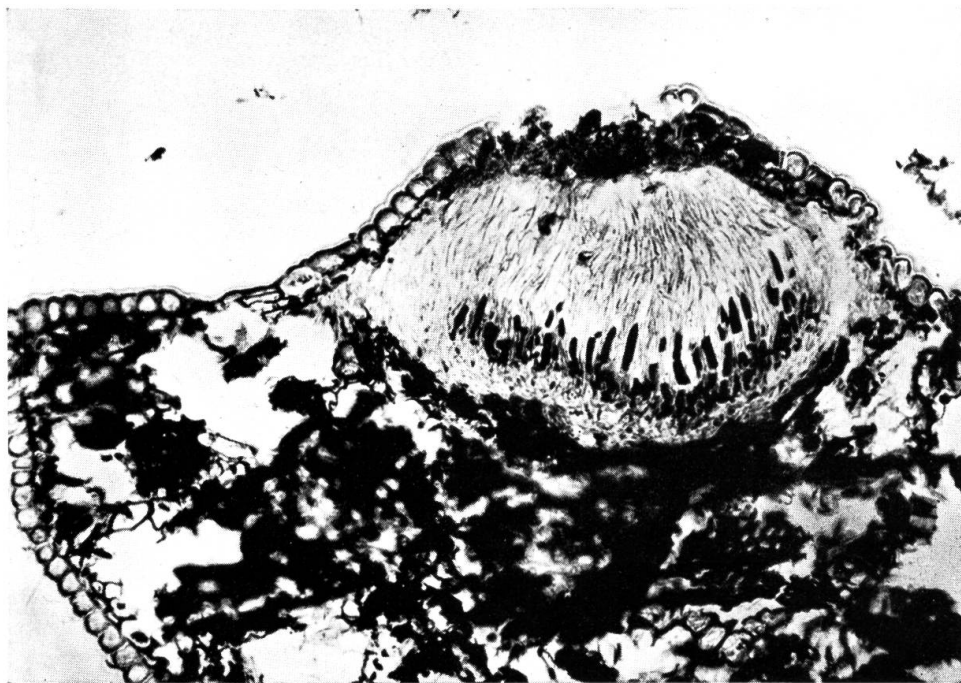


Fig. 1

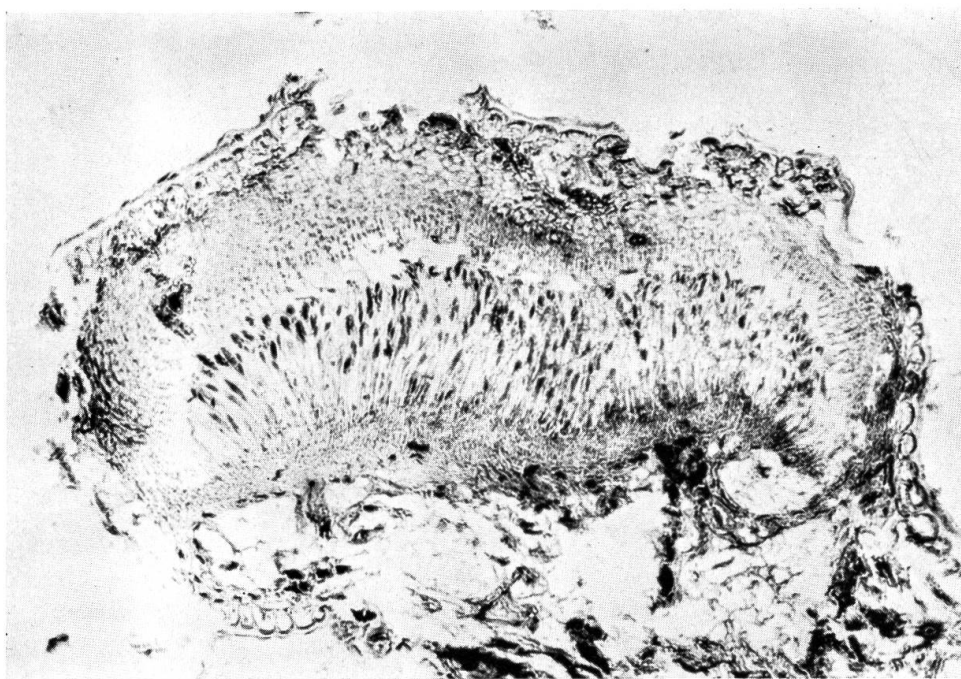


Fig. 2

Planche 2

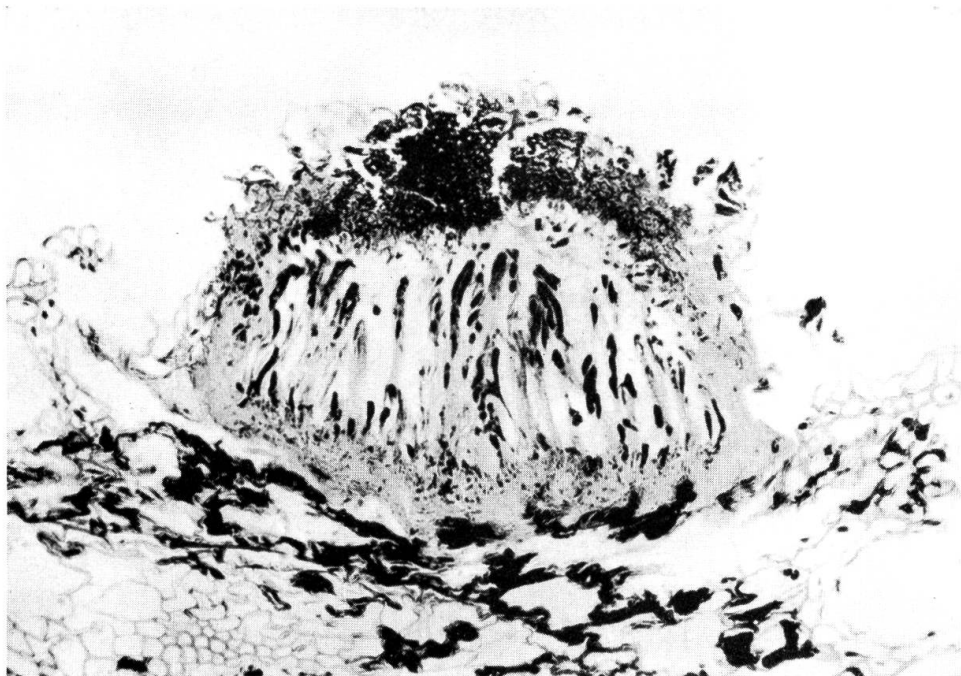


Fig. 1

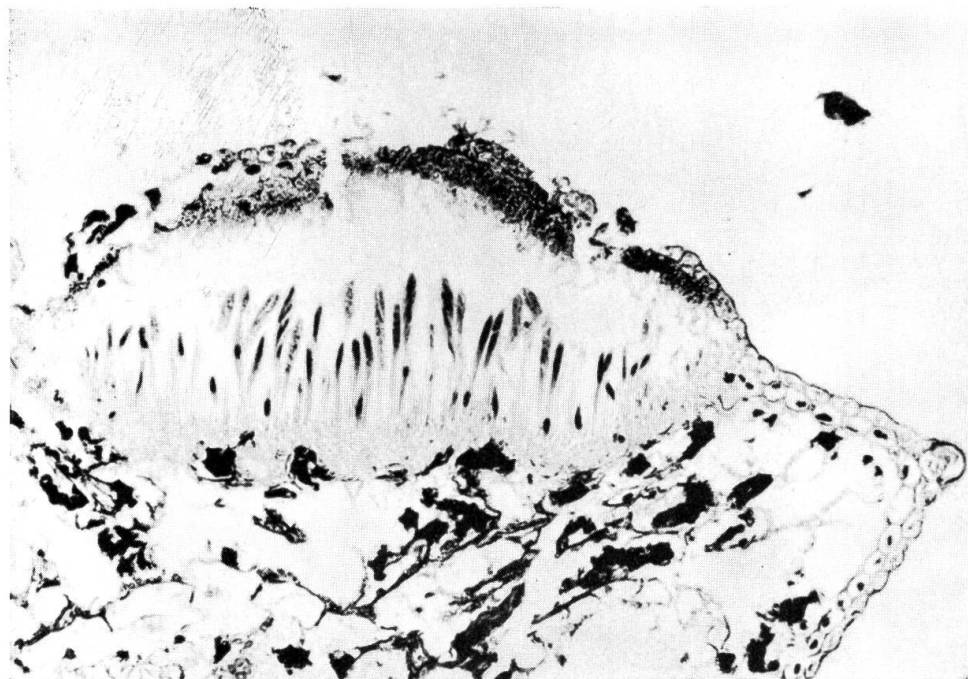


Fig. 2

Planche 3



Fig. 1

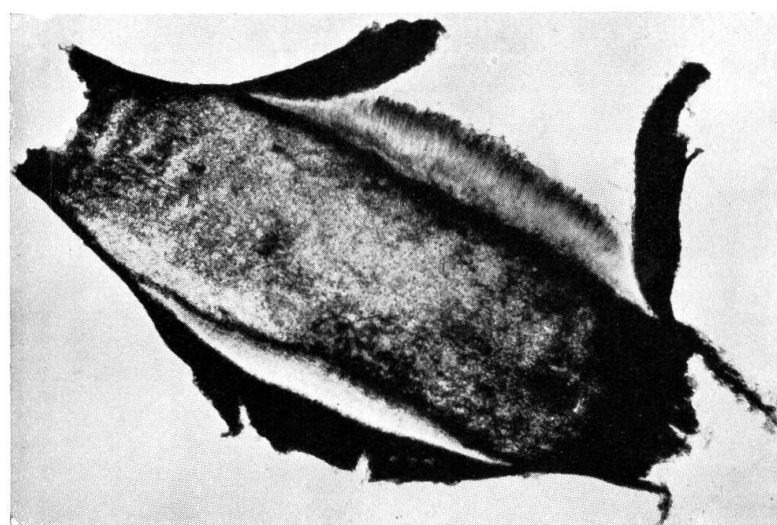


Fig. 2

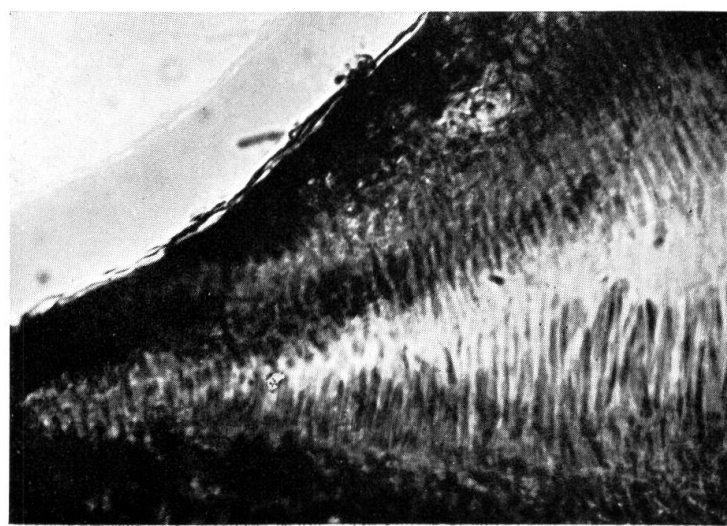


Fig. 3

Planche 4

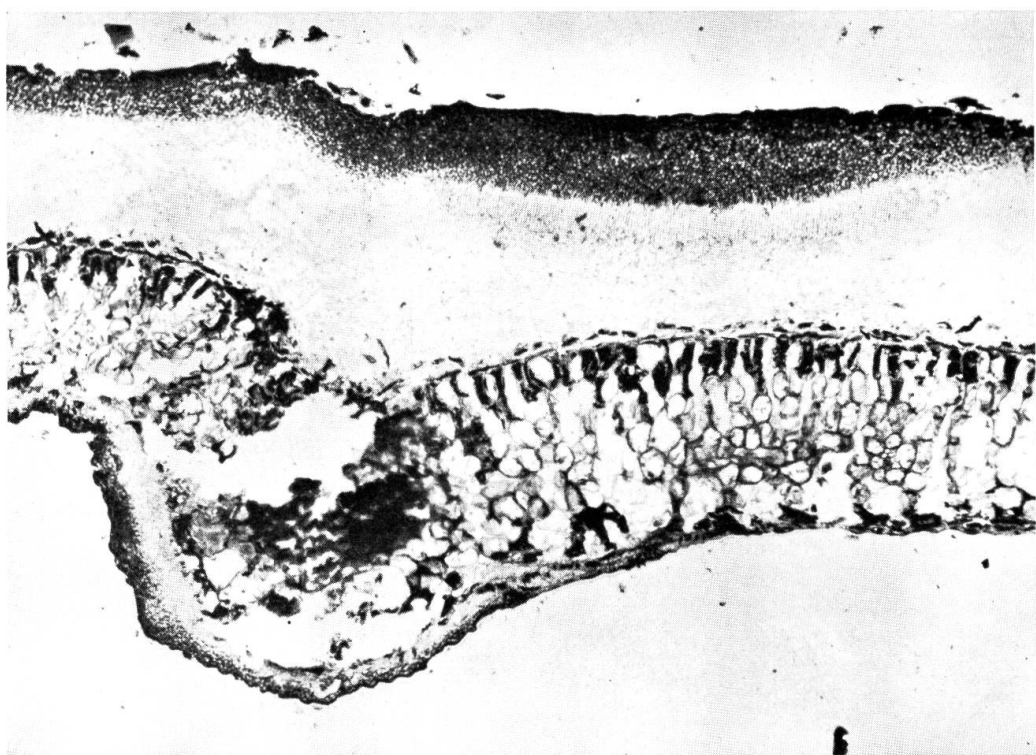


Fig. 1

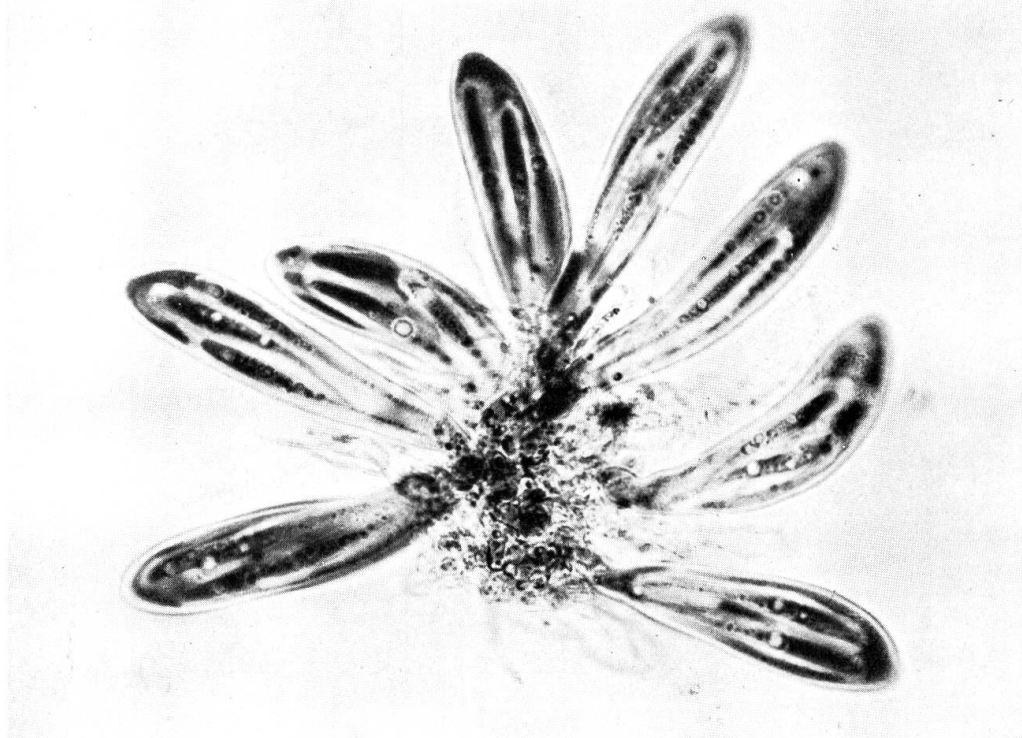


Fig. 2

Planche 5

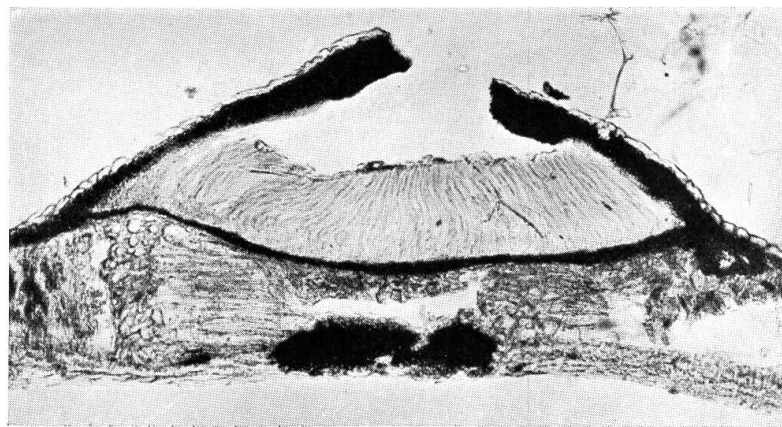


Fig. 1

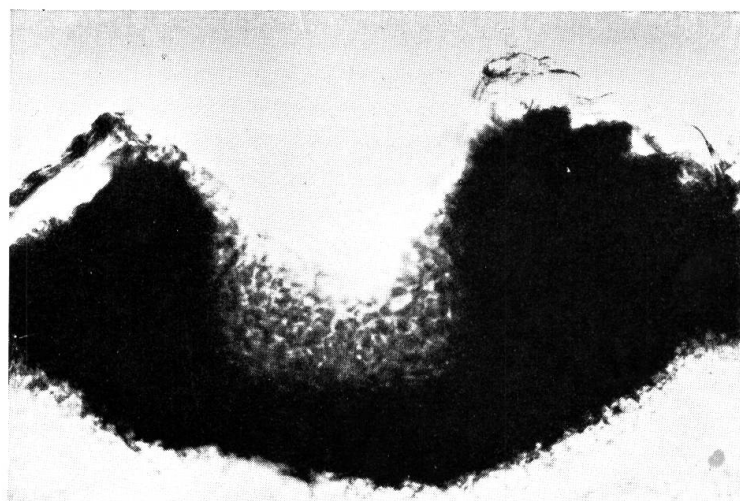


Fig. 2

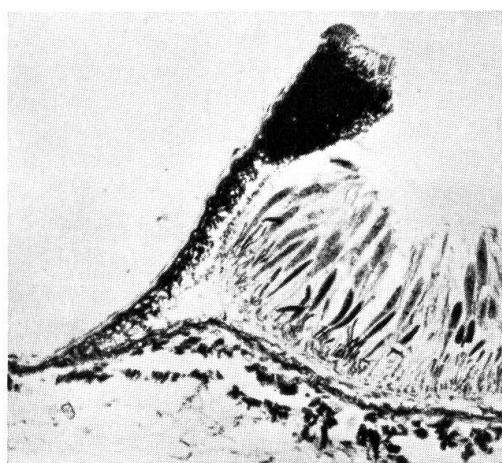


Fig. 3



Fig. 4

Planche 6



Fig. 1

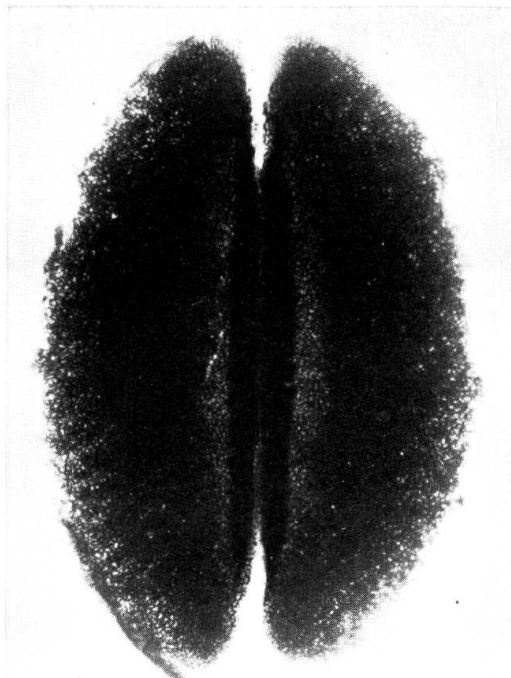


Fig. 2

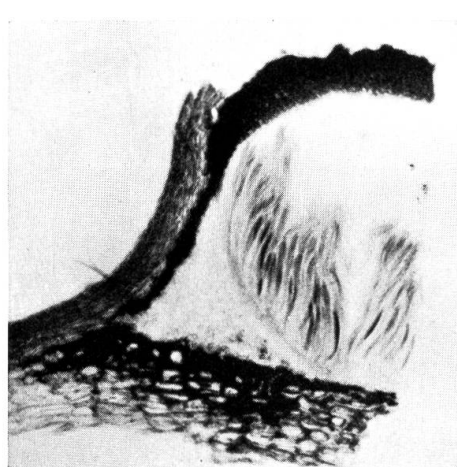


Fig. 3

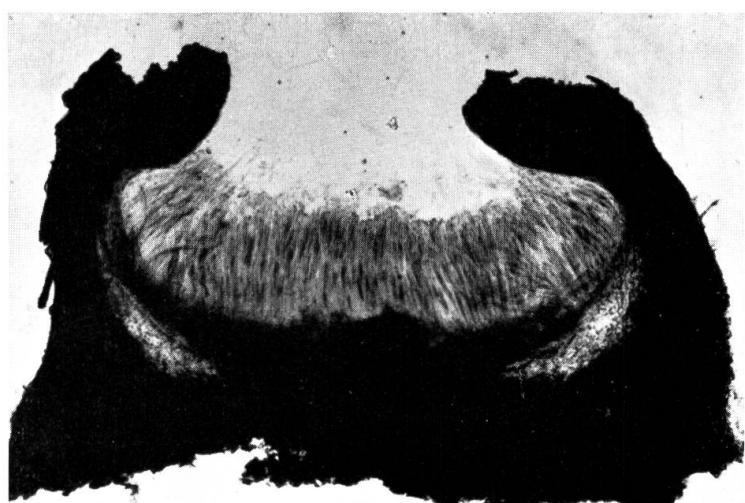


Fig. 4

Planche 7

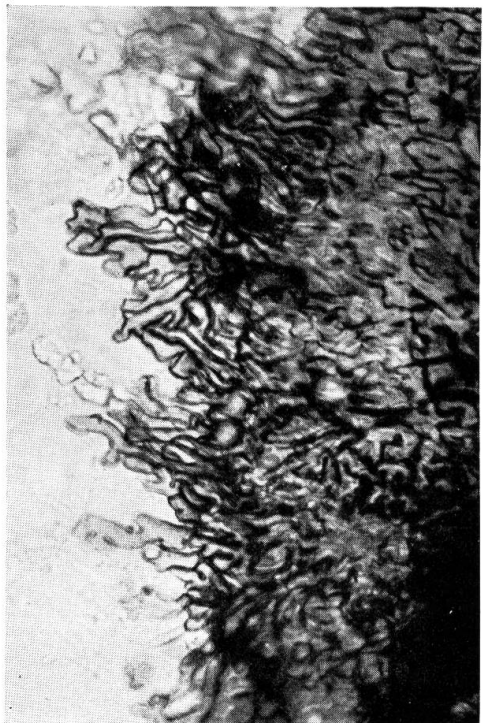


Fig. 1

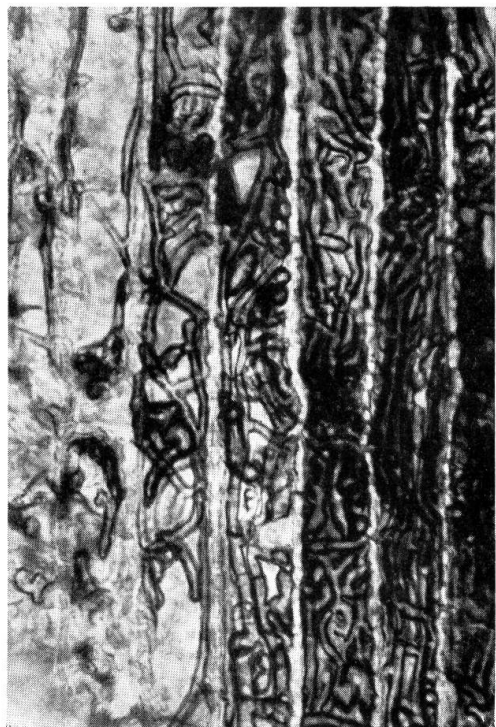


Fig. 2



Fig. 3

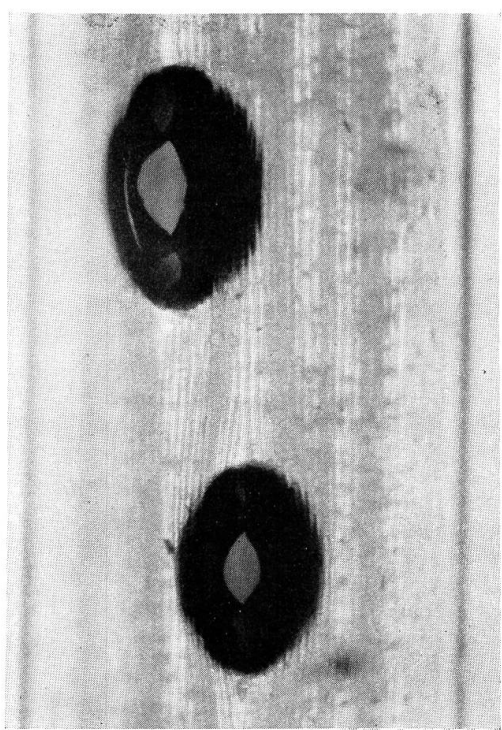


Fig. 4

Planche 8

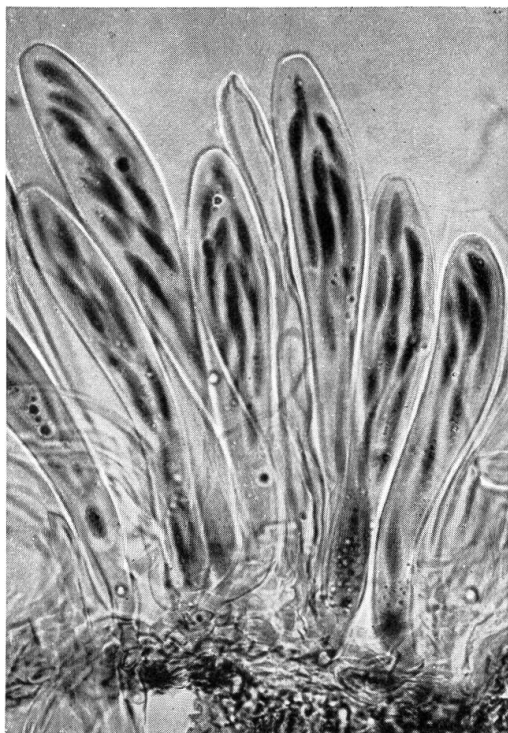


Fig. 1

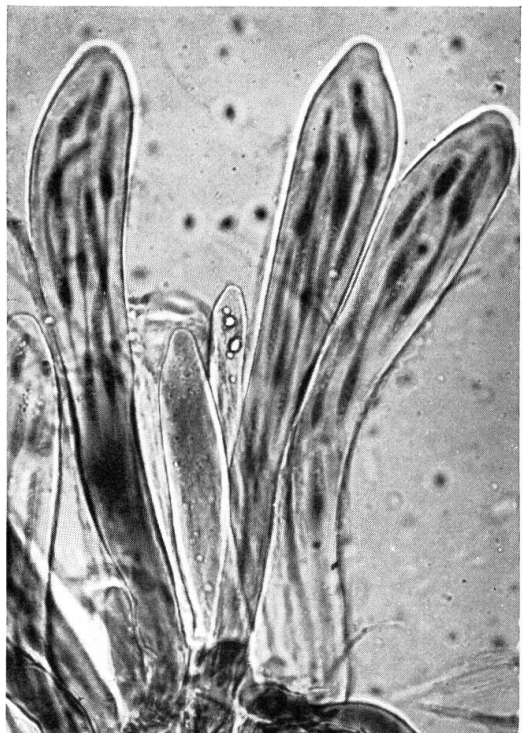


Fig. 2

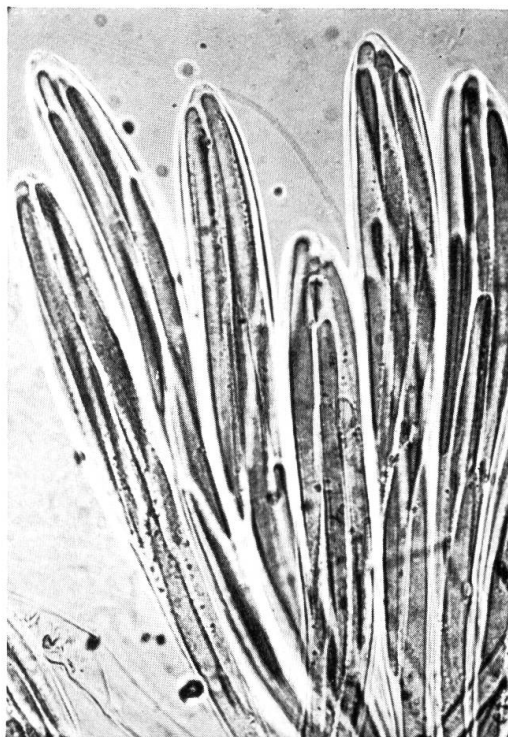


Fig. 3

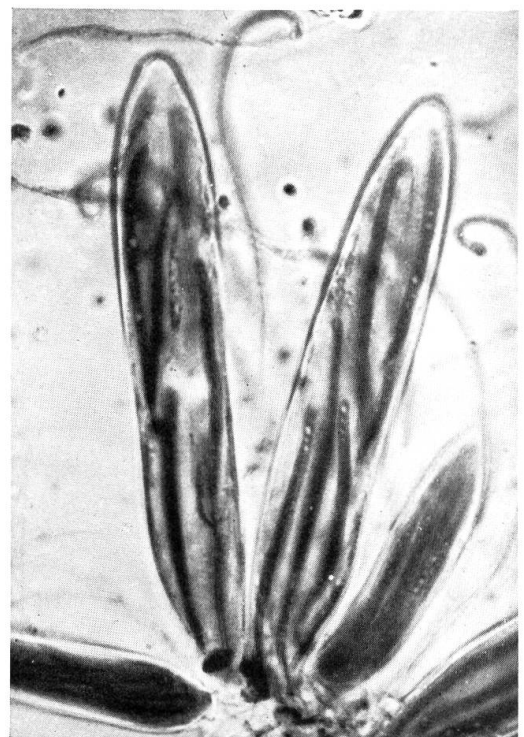


Fig. 4

Planche 9

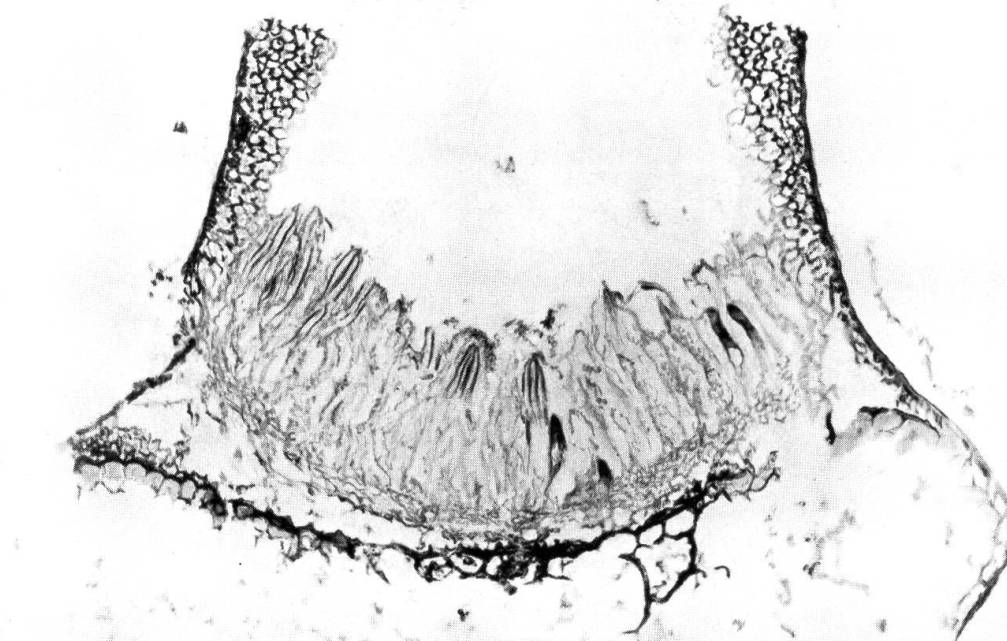


Fig. 1

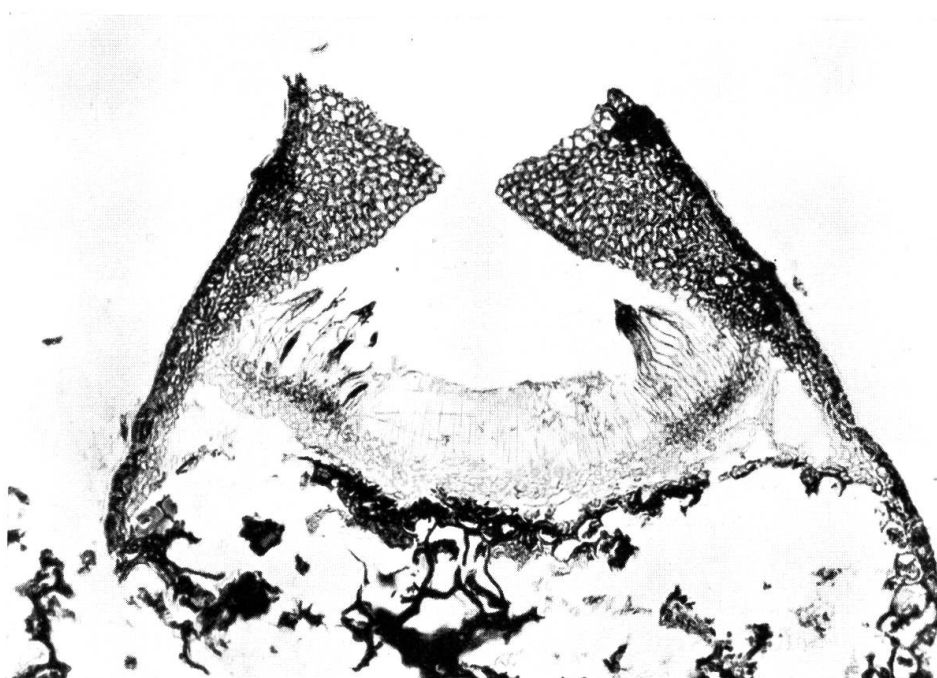


Fig. 2

Planche 10

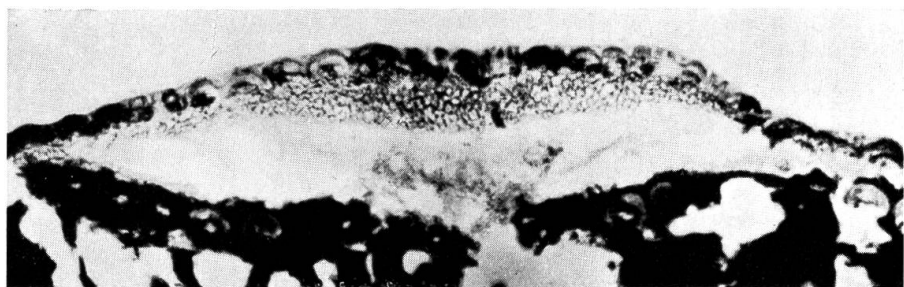


Fig. 1

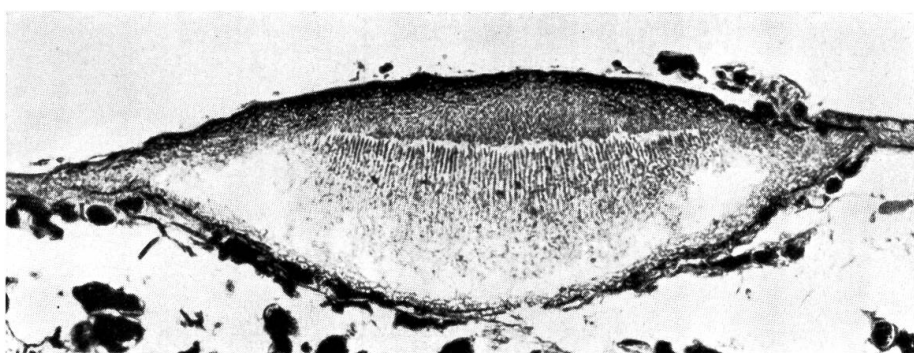


Fig. 2

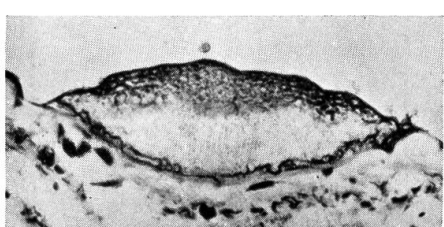


Fig. 3

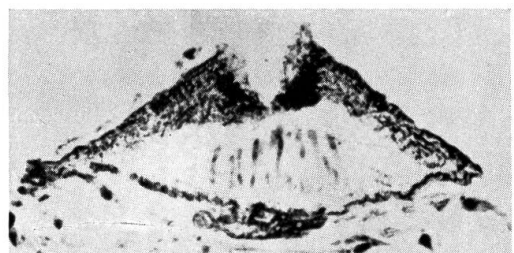


Fig. 4

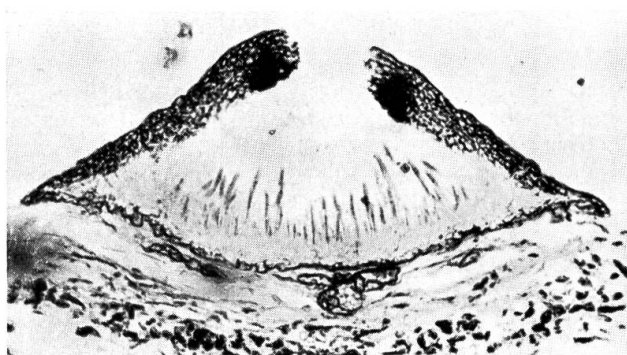


Fig. 5

Planche 11

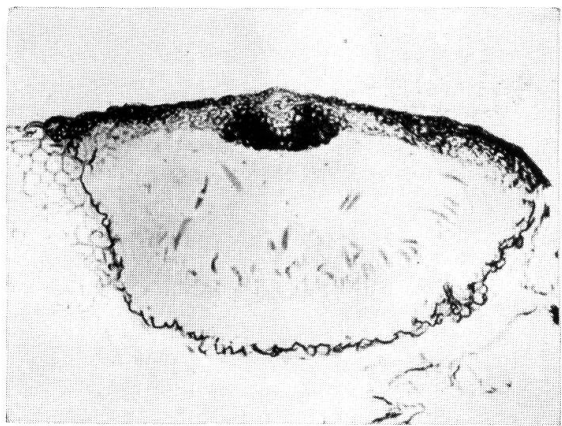


Fig. 1

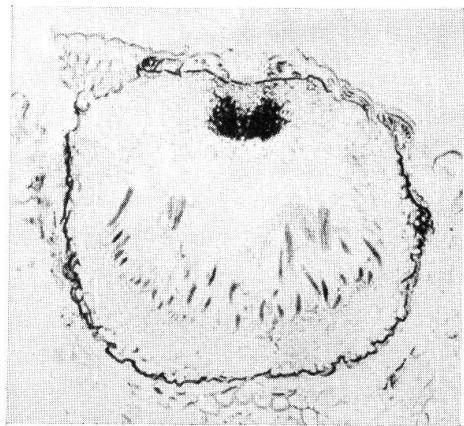


Fig. 2

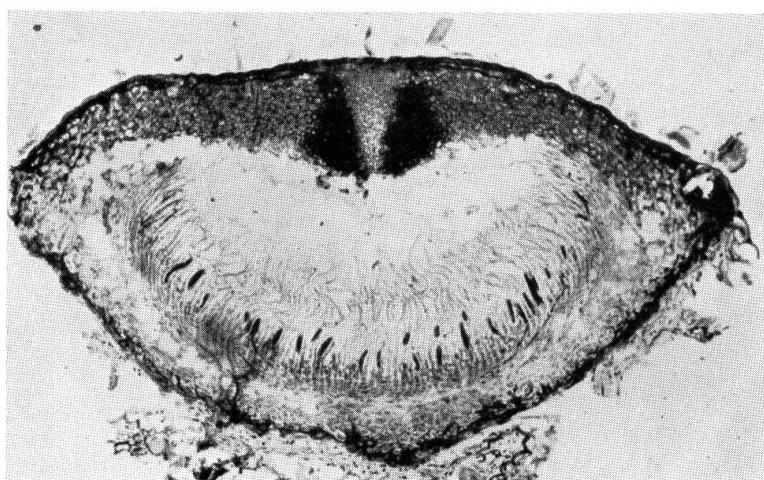


Fig. 3

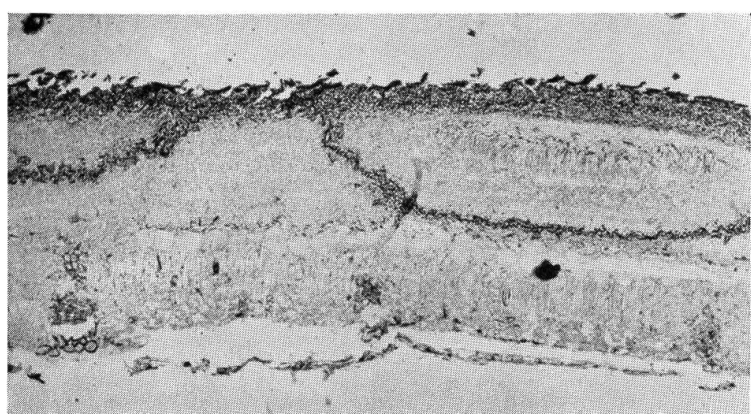


Fig. 4

Planche 12

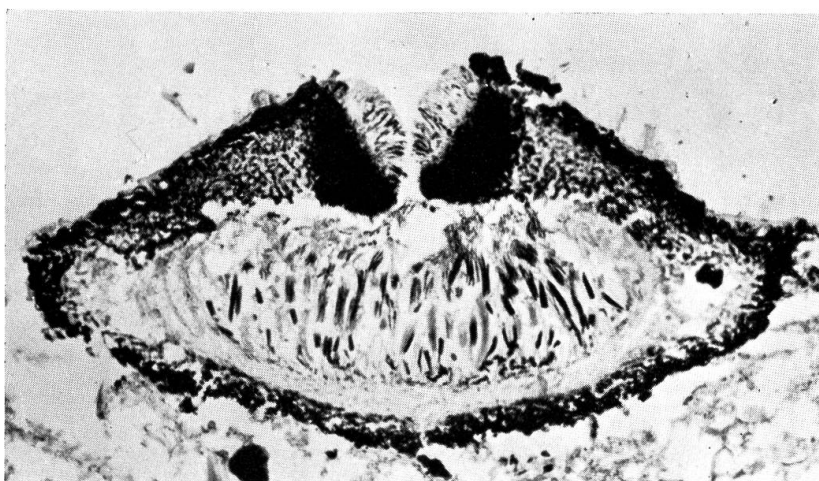


Fig. 1

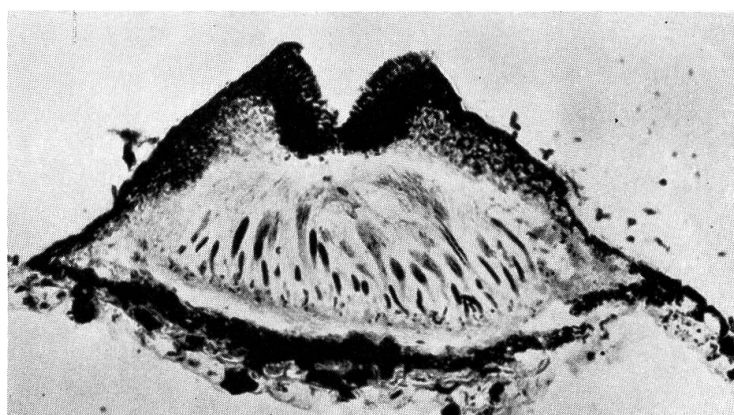


Fig. 2

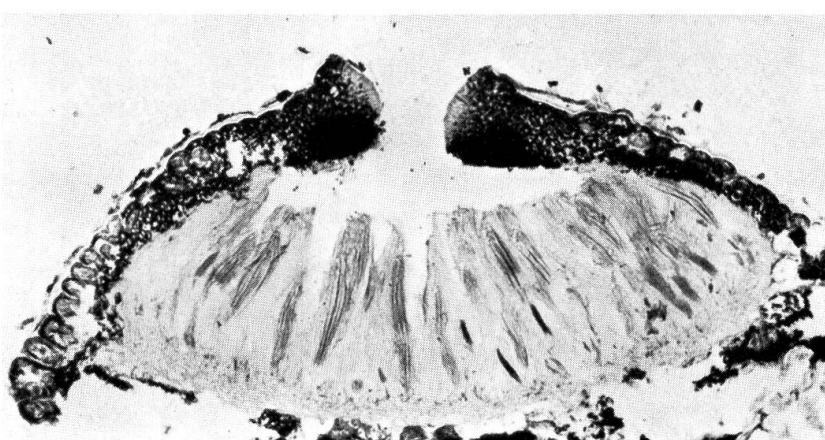


Fig. 3

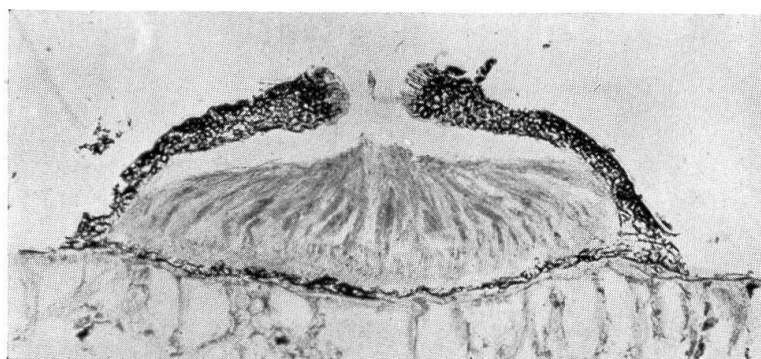


Fig. 4